

# 分担・配分を結合した交通需要予測モデルとそれを用いた最適バス輸送計画法の開発

名古屋大学 正員 河上 省吾  
名古屋大学 学生員 溝上 章志

## 1. 従来の研究と本研究の概要

本研究の目的は、リンク走行時間や経路選択規範の異なる多種のモードが、同一の道路ネットワークを共用する場合の交通需要予測手法、並びに最適バスサービスレベル設計手法を開発することにある。

従来の四段階推定法では、所要時間等のサービスレベルを外生的に与えられたために、配分過程を経て得られたサービスレベルと与件値との間に大きな格差が生じる恐れがある。本来、これらのサービスレベルは、交通需要と交通パフォーマンスとの均衡値として求められるべきであり、また、新規の交通施設の評価の際も、均衡値を用いて行なわなければ、その正確な効果を計測することはできない。このような理由から、交通施設計画に対して、四段階の各プロセスを結合した交通需要予測手法・効果測定手法の開発が強く望まれている。このような中で需要-パフォーマンス均衡を組み入れた交通需要予測モデルがいくつか開発されており、それらの主要な研究をTable. 1に示す。

ここで対象としているように、新規交通施設計画がバス輸送システムの導入の場合には、その便益の帰属主体は、現在何らかの交通手段を利用してトリップを行っている人であり、その効果が発生集中や分布交通量に大きな変化を与えることはないと考えられ、そこで、本研究では交通機関別分担と配分プロセスを結

合した交通需要予測手法と、それを用いた最適バス輸送計画法を開発した。本研究で開発したモデルは、構造の点で松井のものと類似している。しかし、本モデルを用いることにより、個人の交通に対する効用最大化原理に基づいたモード選択から得られる総利用者便益を最大にするようなシステムを設計することができる。そのため、より実際に近い交通現象を再現することができらうえ、利用者最適な機関・経路選択需要下での最適バス輸送計画問題にまで、モデルを拡張することが可能である。

本研究では、2章で多種モード混合ネットワーク均衡問題の定式化とその必要条件について述べ、3章で本モデルに用いた Modal Demand Model (以下MDモデルと記す)とMDモデルに基づく全モード利用者の便益の測定法、システム評価基準について述べる。4章では、分担需要-パフォーマンス均衡を考慮した交通需要予測問題、及び最適バス輸送計画問題を、スレーベル Stackelberg計画として定式化する。次に、部分最適化問題を構成する多種モード混合ネットワーク均衡問題の凸性を証明することにより、7、部分最適化問題をその必要十分条件で置換えた形で4章で定式化された問題の再定式化を行なう。5章では、求解のためのアルゴリズムの開発と、仮想的ネットワークでの適用例について述べる。

## 2. 多種モード混合ネットワーク均衡問題

多種モード混合ネットワーク均衡問題とは、自動車や

Table. 1 結合モデルに関する既往の研究

型	論	使用目的	モデル	年	結合アロセス	主な内容
統計	決定	予測	Florian <sup>1)</sup>	1977	分布・分担・配分	集計型プロジェクトタイプの分担率と Beckmann モデルによるD-P均衡交通量予測モデル。
	決定		加藤・岩城 <sup>2)</sup>	1979	分布・配分	Beckmann タイプの逆需要関数に重託モデルと称して導入した場合の目的開拓意味行とその解の特徴、解法。
	決定		河上・佐田 <sup>3)</sup>	1981	分布・分担・配分	同時に確率最適化問題として定式化し、解法として交通費用が假想形までTIA法と用いて手続別分布交通量を求める。
	決定		Boyce・LeBlanc Chon-Lee & Lin <sup>4)</sup>	1981	分布・分担・配分	Power (i.e. ODペア, m: モード, k: ルート) を考慮した Beckmann タイプのモデルで、個人のコスト最小化選択行動の特徴と考慮するための各アロセスでのエントロピー条件を導入している。このモデルによるコスト選択の証明を行ない、nested logit タイプの逆選択モデルとの関係を示す。
	統計		岩城 <sup>5)</sup>	1982	分担・配分	Beckmann モデルを用いたモード均衡モデルと解くために、その分割均衡問題を考え、直接需要関数の導入を試みる。
	決定		松井・山下 <sup>6)</sup>	1978	分担・配分	各モード利用者が利用者最適な道筋を行なうという条件のもとで、system 最適となるアロセスとフローchart を求めめる。
非統計	確率	予測	Sheffé & Daganzo <sup>7)</sup>	1979	分布・分担・配分	3過程をハイブリッドネットワークという仮想的ネットワークを記述し、石造模型における逆選択性率を求める。この時、需要と供給が均衡するようなサービスと需要量との既定条件を示す。

バスなどのリンク走行時間や経路選択規範の異なる多種類のモードが、同一の道路ネットワークを共有する場合のネットワーク均衡状態を求める問題である。

今、モデルの一般性を失わない程度に問題を簡略化するために、車とバスという2種類のモードが同一道路ネットワークを共用している場合を考える。まず、各モードのリンク走行時間の相異について考えてみる。対象とする道路ネットワークは日本のリンクから成り、n個のO-D間トリップが分布するとき、各変数を、  
 $N_i$ : i番目のO-Dトリップ数 ( $i=1, 2, \dots, n$ )  
 $x_{ia}$ : 自動車を利用するときi番目のO-Dトリップ数  
 $y_{ia}$ : バスを利用するときi番目のO-Dトリップ数  
 $x_{ik}$ : 自動車を利用するときi番目のO-Dトリップのうち、最短経路を利用するトリップ数 ( $k=1, 2, \dots, k_i$ )  
 $y_{ik}$ : バスを利用するときi番目のO-Dトリップのうち、最短経路を利用するトリップ数 ( $k=1, 2, \dots, k_i$ )  
 $f_{ia}$ : 単位時間当たりのa系統の運行頻度 ( $a=1, 2, \dots, A$ )  
 $t_{ia}$ : リンクa上での自動車を利用したときの走行時間 ( $a=1, 2, \dots, A$ )

とおく。ここで、 $N_i$ を与件とした場合を考えると、i番目のO-Dトリップの保存式は次のように表わされる。

$$N_i = x_{ia} + y_{ia} = \sum_k x_{ik} + \sum_a y_{ik} \quad (1)$$

$$x_{ia}, y_{ia}, x_{ik}, y_{ik} \geq 0 \quad (2)$$

さらに、リンクaの交通量  $\rho_a$  は、バス台数を換算係数  $\alpha$  を用いて自動車台数に換算することによつて、

$$\rho_a = \frac{1}{\alpha} \sum_i x_{ia} + \frac{1}{\alpha} \sum_i y_{ia} \quad (3)$$

で表わすことができる。ここに、 $\sum_i x_{ia}$  は自動車におけるi番目のO-Dペア間の最短経路がリンクaを含むとき1、含まないとき0の値をとるダミー変数であり、 $\sum_i y_{ia}$  はバス系統aがリンクaを含むとき1、含まないときには0の値をとるダミー変数である。また、 $\rho_a$  はリンクa上の交通量  $\rho_a$  の固数として

$$\rho_a = \rho_a^* (\rho_a) \quad \rho_a^* = \rho_a^* (\rho_a) \quad (4)$$

のように表わされる。

次に、各モードの経路選択規範について考える。第1のモードである自動車の利用者は、Wardropが提案した第1原則である等時間原則に従うものとする。一方、第2のモードであるバス利用者は、容量制約なしの等時間原則（この配分結果は、すべてのO-Dトリップを

最短経路に配分することと同値である。）に従うものとする。上記の2つの配分規範は、トリップを行なう人がそれぞれのモードを利用した場合、自分にとて最良の経路を選択したときの交通均衡状態を表現することになり、user-optimized flow patternとなる。

単一モードの等時間原則によるネットワーク均衡問題は、N.O.Jørgensen によつて最適化問題として定式化されたが、多種モードが混合した場合の自動車の等時間原則による均衡パターンも、自動車の経路交通量を変数とした場合、次のように表現することができる。

$$\text{minimize } F_x = \sum_a \int_{t_{ia}}^{t_{ia}^*} x_{ia}^* (v_a) dv_a \quad (4)$$

$$\text{subject to} \begin{cases} \sum_i x_{ia} = N_i \\ \rho_a = \sum_i \int_{t_{ia}}^{t_{ia}^*} x_{ia}^* f_{ia} dv_a + \sum_i y_{ia} f_{ia} \\ x_{ik} \geq 0 \end{cases} \quad (5)$$

この最適化問題の解が、多種モード混合状態における自動車の経路選択規範である等時間原則の概念に一致することは、 $\lambda_i$ を i O-Dペア間に固有の値と考えた時のKuhn-Tucker条件

$$\frac{\partial F_x}{\partial x_{ia}} = \begin{cases} \sum_a \int_{t_{ia}}^{t_{ia}^*} f_{ia} t_{ia}^* (v_a) - \lambda_i = 0 & (x_{ia} > 0 \text{ のとき}) \\ \sum_a \int_{t_{ia}}^{t_{ia}^*} f_{ia} t_{ia}^* (v_a) - \lambda_i \geq 0 & (x_{ia} = 0 \text{ のとき}) \end{cases} \quad (6)$$

により、单一モードの場合と同じように示すことができる。一方、バス利用者に対しては、輸送可能条件

$$Q \sum_a d_{ia} f_{ia} \geq \sum_a \int_{t_{ia}}^{t_{ia}^*} f_{ia} y_{ia} t_{ia}^* (v_a) \quad (\text{for all } a) \quad (7)$$

を伴うと、容量制約なしの等時間原則は、

$$\text{minimize } F_y = \sum_a \sum_i \int_{t_{ia}}^{t_{ia}^*} f_{ia} y_{ia} t_{ia}^* (v_a) \quad (8)$$

$$\text{subject to} \begin{cases} \sum_i y_{ia} = N_i \\ \rho_a = \sum_i \int_{t_{ia}}^{t_{ia}^*} x_{ia} f_{ia} dv_a + \sum_i y_{ia} f_{ia} \\ y_{ia} \geq 0 \end{cases} \quad (9)$$

のように定式化できる。ここで  $Q$  はバス容量である。このKuhn-Tuckerの必要条件は次のようになる。

$$\left\{ \sum_a \int_{t_{ia}}^{t_{ia}^*} \{ f_{ia}^* (v_a) - \rho_a \} - \mu_i \geq 0 \right\} \quad (10.a)$$

$$y_{ia} \left( \sum_a \int_{t_{ia}}^{t_{ia}^*} \{ f_{ia}^* (v_a) - \rho_a \} - \mu_i \right) = 0 \quad (10.b)$$

$$\rho_a \geq 0, \quad y_{ia} \geq 0 \quad (10.c)$$

$$\sum_a \int_{t_{ia}}^{t_{ia}^*} f_{ia} y_{ia} t_{ia}^* (v_a) - Q \sum_a d_{ia} f_{ia} \leq 0 \quad (10.d)$$

$$\rho_a \left( \sum_a \int_{t_{ia}}^{t_{ia}^*} f_{ia} t_{ia}^* (v_a) - Q \sum_a d_{ia} f_{ia} \right) = 0 \quad (10.e)$$

(10)

ここで、 $\mu_i$  は i 番目 O-Dペア、 $\rho_a$  はリンクaに特有のラグランジ乗数である。今、式(10)が有効な制約条件でなければ (10.e) から  $\rho_a = 0$  となる。このとき  $\mu_i$  は i 番目 O-Dペアのバスによる所要時間となり、式 (10.a) (10.b)

は自動車に対する Kuhn-Tucker 条件(6)と同一のものとなる。よって、バス利用需要が容量よりも常に小さければ、最適化問題(7)～(8)の最適解はバス利用者に対する等時間原則を表現している。

### 3. M.D.モデルに基づく便益の測定方法とシステム評価基準

#### 3.1 M.D.モデル

利用者の便益を測定するためには、各モードに対する個人の効用を明示的に表現することが必要である。この各モードに対する個人の効用の概念を用いたモデルとしては、非集計交通行動モデル(McFadden<sup>8)</sup>)とM.D.モデルがある。非集計交通行動モデルは、利用者の便益測定(Sasaki<sup>9)</sup>)に対して、多くの利点を持つが、ネットワーク均衡過程との結合時の整合性のために、本研究では、M.D.モデルを採用する。

M.D.モデルとは、交通目的の効用と交通に伴う各種の不効用に独立な確率分布を仮定し、潜在需要のうち選択された交通手段の非効用よりも大きな効用を持つトリップだけが、その交通手段の有効需要として顕在化すると考えるモデルである。今、トリップのための属性量として費用と時間だけを考えならば、トリップによる非効用は、一般化費用  $G = c + wL$  で表わされる。

i番目 O-Dペア間トリップ需要を  $N_i$ 、 $\phi(w)$  を時間評価  $w$  の確率分布、 $p_i^x$ 、 $p_i^y$  を i-O-Dペア間の所要費用としたときの自動車、バスの需要  $x_i$ 、 $y_i$  は、それぞれ

$$x_i = N_i \int_{w_i^*}^{\infty} \phi(w) dw \quad y_i = N_i \int_{w_i^*}^{\infty} \phi(w) dw \quad (11)$$

$$\text{ここに, } w_i^* = (p_i^x - p_i^y) / (1 - \alpha_i) \quad (12)$$

で表現される。ただし、 $\alpha_i \geq 0$ 、 $p_i^y \leq p_i^x$  の場合だけを考えている。

#### 3.2 M.D.モデルに基づく便益測定法とシステム評価基準

従来、新規の交通施設投資に対する効果の測定には、主に、転換利用者と誘発利用者だけに対して、Marshall の理論に基づく利用者余剰の計測が行なわれてきた。しかし、実際には、新規交通施設の設定により新規交通施設への転換者が生じ、既存の交通施設の混雑が緩和されると、新規交通施設の設定後も既存交通施設を利用している主体に対しても、交通コストの減少という純間接便益が生じる。このように、統合的な交通計画の見地からは、新規交通施設利用者の便益だけでなく、他の交通施設利用者への効果を計測する必

要がある。そこで、本研究では、個人の効用に基づきおいたM.D.モデルを導入し、両モードの利用者便益の測定法とシステム評価基準について検討する。

今、一般化費用が  $\bar{G}_x$  である自動車だけが使用されている任意の O-Dペア間に、一般化費用が  $\bar{G}_y$  なる新規のバスシステムが導入されたとする。すると、自動車からバスへの転換により交通機関分担需要とパフォーマンスの均衡状態がシフトし、両モードの一般化費用はそれぞれ  $G_x$ 、 $G_y$  に移動する(Fig.1)。このとき、両モードの利用者便益の増加量は次のようになる。

- a) 自動車からバスへの転換利用者にとては、費用は減少するが、所要時間が増加するから、直接便益は、  
(費用節約費) - (増加所要時間の賃貸価値換算額)
- b) バス導入後も自動車を利用する人にとては、純間接便益として、

#### (減少所要時間の賃貸価値換算額)

よって、システム全体の利用者便益の増加量  $B(z)$  は、  

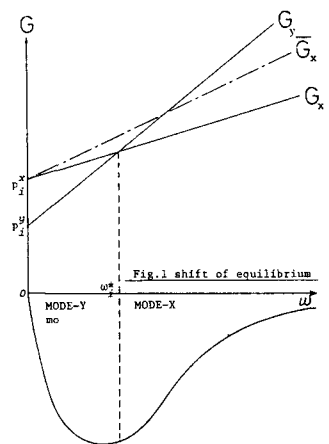
$$B(z) = \sum_i \left\{ (R_i^x - R_i^y) \int_{w_i^*}^{\infty} \phi(w) dw + (\bar{G}_y - \bar{G}_x) \right\} \int_{w_i^*}^{\infty} w \phi(w) dw + (\bar{G}_y - \bar{G}_x) \int_{w_i^*}^{\infty} w \phi(w) dw N_i \quad (13)$$

となる。ここで、 $\bar{G}_y$  はバスシステムが導入される以前の車による i-O-Dペア所要時間であり、費用については簡単のため両モードとともに O-Dペア間で与件としている。式(13)で表わされる増加便益の総和は、トリップを行なうすべての人についての便益を測定していくことから、多種モード混合ネットワークにおけるバスシステム導入の効果を評価する上で最良のものと考えることができる。そこで、システム評価閾数として式(13)を採用し、式(13)が最大になるようなシステムの設計を行なう。

#### 4. 交通機関分担需要・パフォーマンス均衡を考慮した多種モード混合フロー問題とバスサービス決定問題

##### 4.1 モデルの定式化

交通機関分担需要とパフォーマンスとの均衡を考慮した多種モード混合ネットワークにおけるバスサービス決定問題とは、3.1で述べた交通機関分担需要と、2.で述



べた需要・パフォーマンス均衡下で、システムの評価関数を最適にするようなバスサービス水準を設定する問題である。具体的には、制御可能なバスの運行頻度をバラメトリックに変化させたとき各モードに対するネットワーク均衡条件式(2)(4)(6)、(7)(8)(9)を満足せながら、式(4)で表わされるシステム評価基準を最大にするようなバスの運行頻度を決定することである。この問題を定式化すると、以下のようになる。

$$\begin{aligned} & \text{maximize } B(z) = \left\{ \int_{\Omega} \left[ f_i(x_i) + f_{ik}(x_k) \right] w_i(x_i) dx_i + \int_{\Omega} \left[ f_{ik}(x_k) \right] w_{ik}(x_k) dx_k \right\} N_i \\ & \text{subject to} \quad \sum_{k=1}^K x_{ik} + \sum_{i=1}^N d_{ik} - N_i = 0 \\ & \quad w_i^* = (p_i^* - g_i^*) / (p_i^* - p_k^*) \\ & \quad \text{minimize } F_2 = \sum_{i=1}^N \int_{\Omega} f_i(x_i) dx_i \\ & \quad \text{subject to} \quad \begin{cases} \sum_k x_{ik} = x_i \\ v_n = \sum_i \int_{\Omega} d_{ik} x_{ik} + \sum_k d_{nk} x_{nk} \\ x_{ik} \geq 0 \end{cases} \quad (4) \\ & \quad \text{minimize } F_3 = \sum_i \sum_k d_{ik} y_{ik} f_{ik}(y_{ik}) \\ & \quad \text{subject to} \quad \begin{cases} \sum_k y_{ik} = y_i \\ v_n = \sum_i \sum_k d_{ik} x_{ik} + \sum_k d_{nk} x_{nk} \\ y_{ik} \geq 0 \\ \Omega \sum_k d_{ik} y_{ik} > \sum_k d_{nk} y_{nk} \end{cases} \end{aligned}$$

この問題は、最適化問題の制約条件として最適化問題を含んだ2レベル Stackelberg 計画問題<sup>10)</sup>を構成している。まず、この Stackelberg 問題のもつ意味について考えてみる。システム設計主体の設定した評価関数(4)で表わされるシステムの全体最適化问题是、制御可能な運行頻度や、内生的に決定される所要時間の変化に伴う分担率の変化を通して、式(4)(6)、式(7)～(9)の部分最適化問題の制約条件に影響を及ぼす。一方、2つの部分最適化问题是、混合フローという形で相互に影響を及ぼしながら、与えられた分担需要のもとで、各モード利用主体にとつての user-optimized flow pattern を決定する。この結果はリンク走行時間を通じて全体最適化問題に干渉し、全体最適化問題を最適にするようなバスの運行頻度を求めるという構造になってしまつ。

次に、このモデルが再現する現象について考えてみる。全体最適化問題の中に含まれる分担率モデルは、与えられたサービスレベルのもとで、トッピング主体は自分にとつて非効用の最も小さい交通機関を必ず選択するという構造をしており、システム最適化のために他のモードを強制的に選択せられる人は存在しない。

そのため、このモデルは、任意の制御可能なサービスレベルのもとで、経路選択だけでなく交通機関選択についても、利用者最適パターンを再現することになる。さらに、手段選択過程がネットワーク均衡過程よりも上位のレベルにあらといふことから、選好の順位付けを行っていることになり、本モデルを用いれば、より実際に近い交通需要を予測しながらバスサービスレベルの設定を行なうことが可能となる。

このことから、式(4)の問題を交通需要予測問題として考える場合には、外生的に設定されたバスサービス水準のもとでの利用者最適な分担率と経路フローパターンが再現され、一方最適バス輸送計画問題として考える場合には、利用者最適な手段選択とフローパターンのもとで、システムにとつて最適なサービス水準を求めることができる。

#### 4.2 部分最適化問題の凸性とモデルの再定式化

前節で定式化された2レベル Stackelberg 問題を、直接解くことは困難であるが、部分最適化問題をその必要十分条件で置き換えることができれば、問題(4)の必要条件を得ることができます。そのためには、

- (a) 目的関数が $\mathbb{R}$ に関して微分可能な凸関数であること、
- (b) 任意に固定された $\bar{x}$ に対して、部分最適化問題の有限な最適解 $x(\bar{x})$ 、 $y(\bar{x})$ とそれに対応する最適 Lagrange 乗数が存在すれば良い。ここで、 $\bar{x}$ は解ベクトルであり、 $\bar{x} = (x, y, f)$ である。

そこで、各種モード混合均衡フローを決定する部分最適化問題(4)(5)の凸性について検討する。

まず、制約条件(4)(1)は、経路交通量及び運行頻度に関する線形であるから、これらを満足する変数の集合 $R$ は凸集合である。次に目的関数(4)の凸性について考えよう。今、解集合の任意の2点 $\bar{x}^{(1)}$ 、 $\bar{x}^{(2)}$ を $R$ に関して、式(4)をデータ一展開すると、

$$F_x(\bar{x}^{(2)}) = F_x(\bar{x}^{(1)}) + (\bar{x}^{(2)} - \bar{x}^{(1)})^T \nabla F_x(\bar{x}^{(1)}) + \frac{1}{2} (\bar{x}^{(2)} - \bar{x}^{(1)})^T H(\bar{x}^{(1)} + (1-\theta)\bar{x}^{(1)}) \cdot (\bar{x}^{(2)} - \bar{x}^{(1)})$$

となります。ここで $0 \leq \theta \leq 1$ で、 $H$ はヘッシアン行列を示す。このとき、

$$\begin{aligned} & F_x(\bar{x}^{(2)}) - F_x(\bar{x}^{(1)}) - (\bar{x}^{(2)} - \bar{x}^{(1)})^T \nabla F_x(\bar{x}^{(1)}) \\ & = \frac{1}{2} (\bar{x}^{(2)} - \bar{x}^{(1)})^T H(\bar{x}^{(1)} + (1-\theta)\bar{x}^{(1)}) \cdot (\bar{x}^{(2)} - \bar{x}^{(1)}) \\ & = \frac{1}{2} \sum_a \frac{dx_a(\bar{x}_a)}{d\bar{x}_a} \left\{ \left( \frac{\partial}{\partial x} d_{ik} \frac{\partial V_k}{\partial x_{ik}} \right) + \left( \frac{\partial}{\partial x} d_{ik} \frac{\partial V_k}{\partial y_{ik}} \right) + \left( \frac{\partial}{\partial f} d_{ik} \frac{\partial V_k}{\partial f_i} \right) \right\} \\ & + \frac{1}{2} \sum_a d_{ik}^2(\bar{x}_a) \cdot \left( \frac{\partial}{\partial x_{ik}} + \frac{\partial}{\partial y_{ik}} + \frac{\partial}{\partial f_i} \right)^2 d_{ik} \end{aligned} \quad (4)$$

ここで、 $d_{ik}, c_{ik}$ は、それぞれ、点(i)と点(k)の解集合でのi番目O-Dペア間の自動車、バストリップにおける第k経路交通量の差であり、 $\delta_{ik}$ はi系統の運行頻度の差を表わしている。今、 $\delta_{ik}(u)$ は単調増加関数と仮定できることから、 $d_{ik}(u)/d_{ik} \geq 0$ となる。また、 $x_{ik} \geq 0$ ,  $y_{ik} \geq 0$ ,  $f_{ik} \geq 0$ に対しては $\geq 0$ であり、かつ $\delta_{ik}(u) \geq 0$ であるから、式(6)  $\geq 0$ となり、Hは半正定値となる。

これによつて

$$F_x(z^{(0)}) \geq F_x(z^{(0)}) + (z^{(0)} - z^{(0)})^T D F_x(z^{(0)}) \quad (7)$$

となるから、目的関数 $F_x$ は凸関数であると言つてよい。

凸関数であれば擬似凸関数であり、目的関数が擬似凸関数で実行可能領域が凸であればKuhn-Tucker条件は十分条件となることから、式(5),(6)は式(4),(5)の必要十分条件となる。つまり、多種モード混合フローにおける等時間原則配分問題も、單一モードの場合<sup>11)</sup>と同様に $\exists \in \mathbb{R}$ で凸計画問題となり、 $F_x$ の局所的最適解は全局的最適解に一致する。バス利用者に対する部分最適化問題についても全く同様のことが成立する。よつて、全体最適化問題の制約条件を構成する2つの部分最適化問題は、その必要十分条件で置き換えることができる。

以上の結果より、4.1で定式化された問題は、以下に記す問題と等価になる。

$$\begin{aligned} \max B(u) &= \sum_i \left\{ \left( \frac{\delta_{ik}}{\lambda_i} \right) \int_0^1 \phi(\omega) d\omega + \left( \frac{\delta_{ik}}{\mu_i} \right) \int_0^1 \psi(\omega) d\omega + \left( \frac{\delta_{ik}}{f_{ik}} \right) \int_0^1 w_i f_i(\omega) d\omega \right\} N_i \\ \text{subject to} & \left\{ \begin{array}{l} \sum_k x_{ik} + \sum_k y_{ik} = N_i = 0 \\ w_i^* = (\lambda_i^* - \mu_i^*) / (\lambda_i^* - f_i^*) \\ \sum_k x_{ik} = x_i, \quad \sum_k y_{ik} = y_i \\ v_a = \sum_k \delta_{ik} x_{ik} + \sum_k d_{ik} f_{ik} \\ \sum_k \delta_{ik} x_{ik}^*(v_a) - \lambda_i = 0 \quad (x_{ik} > 0 \text{ のとき}) \\ \sum_k \delta_{ik} x_{ik}^*(v_a) - \lambda_i = 0 \quad (x_{ik} = 0 \text{ のとき}) \\ \sum_k \delta_{ik} x_{ik}^*(v_a) - \mu_i = 0 \quad (y_{ik} > 0 \text{ のとき}) \\ \sum_k \delta_{ik} x_{ik}^*(v_a) - \mu_i \geq 0 \quad (y_{ik} = 0 \text{ のとき}) \\ Q \sum_k d_{ik} f_{ik} > \sum_k \delta_{ik} y_{ik} \\ x_{ik} \geq 0, \quad y_{ik} \geq 0 \end{array} \right. \end{aligned}$$

この再定式化により、問題(14)は通常の等式・不等式条件をもつ第II種の非線形計画問題に変換される。

#### 5. 解法とその適用例

##### 5.1 解法のアルゴリズム

第II種の非線形計画問題は、種々の方法で解くこと

が可能である。ここでは、まず各種の制約条件付最適化問題をペナルティ、内数法によつて

$$F(u, t_m) = -B(u) + t_m \sum_i G_i^{-1}(u) + t_m^{-1} \sum_j E_j(u)$$

なる制約条件なしの最小化問題に変換し、問題(14)の持つ特性に適したアルゴリズムを開発することによつて問題(14)を解くことを試みた。ここに、 $t_m$ は $\lim_{m \rightarrow \infty} t_m = 0$ を満足し、単調減少する正值であり、 $G_i(u)$ ,  $E_j(u)$ はそれぞれ、不等式条件式と等式条件式、 $u = (z, \lambda_i, \mu_i)$ である。

問題(14)の持つ主な特性を考察してみると以下のようになる。

① 式(6)の決定変数は、各モードの経路交通量と各バス系統の運行頻度である。これらの決定変数の中で、各モードの経路交通量を表わす変数の数は前もつて与えられていろわけではなく、最適化の過程で求まるものである。また、その総数は、ネットワーク規模のべき乗のオーダーで増加するため、決定変数の数が極めて多くなる。

② 全体最適化問題は、部分最適化問題（ネットワーク均衡問題）を最適解に向かわせるのと同時に、自らも最適解の方向へ修正されなければならない。

これらの特性を満足するためにには、部分最適化問題であるネットワーク均衡問題を解くためのループをアルゴリズムの中にとり入れながら全体最適化問題の解の修正が行なわれるようなアルゴリズムを開発する必要がある。また、各モードの通過経路を、各イテレーションで実際に用いられる可能性のあるものだけに限定することによつて、計算時の記憶領域をできる限り小さくすることが重要である。以下に、本研究で開発したアルゴリズムを

(8)紹介する。これは、宮城<sup>3)</sup>の解法を応用したものである。

step 0 初期実行可能解 $u^{(0)}$ を与え、 $E_x^{(m)} = E_y^{(m)} = \emptyset$ ,  $m = 0$ とおく。

ここで $E_x^{(m)}, E_y^{(m)}$ は自動車・バス利用者の配分の対象となる経路集合である。

step 1.  $u^{(m)}$ に対応したリンクフロー $v^{(m)}$ を求め、目的関数の値 $F^{(m)}$ を計算する。次に各モードに対するリンクバフオーマンス $\lambda_i^* = \lambda_i^*(u)$ ,  $\mu_i^* = \mu_i^*(u)$ を求める。各O-Dペアに対する最短経路 $P_x^*, P_y^*$ を求める。

step 2.  $P_x^* \in E_x^{(m)}, P_y^* \in E_y^{(m)}$ であれば step 3. へ、そうでなければ  $E_x^{(m)} = E_x^{(m)} \cup P_x^*, E_y^{(m)} = E_y^{(m)} \cup P_y^*$

step 3.  $P_x \in E_x^{(m)}, P_y \in E_y^{(m)}$ 、各系統の $\lambda_i^*$ に対しても、勾配 $\nabla F(u^{(m)})$ を計算する。

step4.  $P_x \in E_x^{(m)}, P_y \in E_y^{(m)}$ ,  $f_i$  からなら変数集合  $U^{(m)}$  に対して、 $\|DF(u^{(m)})\| < \epsilon$  ならば計算を終了し、もし  $\epsilon$  でなければ step5へ進む。 $\epsilon$  は与えられた正値である。

step5. 降下方向ベクトル  $d^{(m)}$  を求めろ。ここでは勾配法を用いるため、 $d^{(m)} = -DF(u^{(m)})$  とする。

step6. 最適割り振幅  $d^{(m)}$  を

$$F(u^{(m)} + d^{(m)} d^{(m)}) = \min F(u^{(m)} + d^{(m)})$$

ならびに一次元探索法により求めらる。

step7. 新しい解を、 $U^{(m+1)} = U^{(m)} + d^{(m)} d^{(m)}$  とする。ここでもし、 $U^{(m)}$  のうちで負となるものがあれば 0 とおき、それらに対応する自動車利用経路  $E_x$ 、バス利用経路を解集合  $E_x^{(m)}, E_y^{(m)}$  から除き、

$$E_x^{(m+1)} = E_x^{(m)} - g_x, \quad E_y^{(m+1)} = E_y^{(m)} - g_y \quad \text{とする。}$$

step8. 新しい目的関数値  $F^{(m+1)}$  を求めらる。

step9. あらかじめ指定された正の定数  $E_1, E_2$  に対して  $F^{(m)} - F^{(m+1)} < E_1$ 、かつ  $\|d^{(m)}\| \|d^{(m)}\| < E_2$

ならば計算を終了する。そうでなければ step10. へ

step10.  $m = m+1$  として step1. へもどる。

## 5.2 モデルの適用例

本研究で提案したモデルとその解法の有用性を検証するために、Fig.2 に示す 1 OD 2 経路のうち、片方の経路にバス路線が設定されていゝような簡単なネットワークを対象にして、

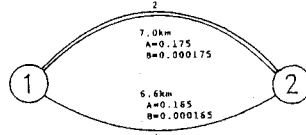


Fig.2 model network

バスの運行頻度を外生的に与えた交通需要予測問題に対するモデルの感度分析を行った。この時、外生的に与えられる変数の値を Table.1 に示す。また、自動車によるリンク走行時間関数  $\varphi_{ij}(v_{ij})$  は  $\varphi_{ij}(v_{ij}) = A_{ij} + B_{ij} v_{ij}$  なる線形関数と仮定し、バスのリンク走行時間関数は、自動車のそれの 1.5 倍とした。各ネットワーク情報は、Fig.3 に示すとおりであり、時間評価値は  $N(6.67, 9.07)$  の正規分布の正の部分だけを考えた確率分布に従うものとする。Table.2 にその結果を示す。バス運行頻度が少ない場合、つまり、バスの分担率が低く道路の混雑が激しい場合には、経路 1 と 2 の間で、所要時間の相

Table.2 sensitivity for bus frequencies

bus freq.	3	4	6	10	15	20
自 動 車	227.15 (11.67)	204.91 (11.59)	175.25 (11.35)	146.41 (11.11)	146.38 (11.11)	179.78 (11.05)
車 R1	61.70 (11.16)	52.59 (11.10)	42.12 (11.01)	32.53 (11.00)	8.76 (10.90)	7.47 (10.99)
車 R2	161.16 (26.65)	192.13 (24.07)	232.64 (21.49)	271.06 (19.49)	284.85 (18.34)	302.75 (17.80)
バス利用頻度	56819. 61318.	58912. 55962.	49766. 48536.	40852. 40724.	35615. 35148.	33328. 33282.
所要時間	44	33	28	50	47	17
収束回数	29.7	7.6	32.2	6.9	45.3	36.8
DF	35.8	42.6	51.7	60.2	65.5	67.2
バス分担率						

対誤差が少しがれ生じていて。これは、第 2 経路を配分対象経路にとり込んだ時に、自動車での OD ペア間所要時間として、現実テレーションでの各経路所要時間の平均値を用いていることに起因するものと考えられる。この誤差も、運行頻度が増加し、道路の混雑が緩和されるのに従って減少する。現実的には、この誤差も全く無視できるものであらうと考えられ。また、運行頻度の変化に伴う自動車・バス両モードの所要時間の変化、目的関数、バス分担率等の変化の傾向から見ても、このモデルとアルゴリズムの有効性が判断できる。Fig.3, Fig.4 に、運行頻度が 6 本/分の場合の解と目的関数値の収束状況を示す。28 回の繰り返しで、 $E_1, E_2$  制約による収束判定を満足しているが、15 回程度でも最終的な解にはほど到達していることが分かる。統一 CP の時間は FACOM-JP2 で 2.96 秒程度であり、計算時間の上でも十分に実用性のあるアルゴリズムになつてゐると考えられる。全体最適化問題の凸性が保証されていないため、収束回数やルムにはばらつきが見られるが、初期値を変えてみても同じ解に収束することから、これらの解は大局的最適解に到達していると考えられる。

次に、Fig.5 に示すよな、リンク 1, 2 がバス路線を共用している道路ネットワークを対象にして、運行頻度をパラメトリック決定変数として取り込んだバスサービス

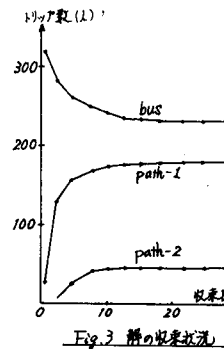


Fig.3 順の収束状況

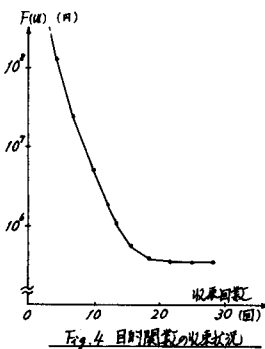


Fig.4 目的関数の収束状況

## 決定問題を考え

と。歩歩速度を  
3km/h、その他の  
変数はTable.1の  
ものと同様とし、

各リンクの $A_{ij}$ ,  $B_{ij}$   
はFig.5に示すと  
おりである。総  
トリップ数が、  
6000人で、その  
O-D構成比と自  
動車によると所要  
費用をTable.3に  
示す。この時、

最適バス頻度は20.2本/分、バス分担率は10.9%となり、  
目的関数値は $0.60709 \times 10^6$ 円/分となる。各モードのフローパターンをFig.6, Fig.7に示す。自動車の場合、①-②-③と①-③-②と④-①-③のO-D  
間経路で等時間フローパターンが成立している。その誤差は、0.39%、8.47%であり、実際には無視できるものと考えても良い。

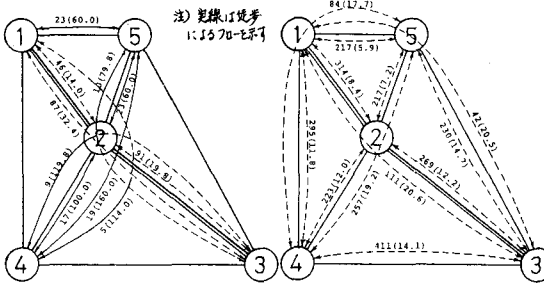


Fig.6 flow pattern of bus users

Table.3 OD trip pattern

	1	2	3	4	5
1	*	0.06(160)	0.04(250)	0.05(190)	0.04(145)
2	0.06(160)	*	0.06(190)	0.04(175)	0.04(145)
3	0.04(250)	0.06(190)	*	0.07(205)	0.04(220)
4	0.05(190)	0.04(175)	0.07(205)	*	0.06(220)
5	0.04(145)	0.04(145)	0.04(220)	0.06(220)	*

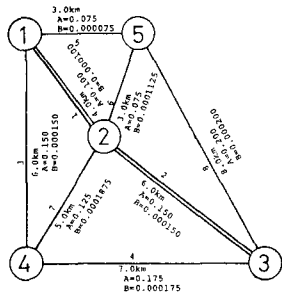


Fig.5 model network

ある制御可能な交通サービスが与えられれば、部分最適化問題から導かれるトリップ費用等のサービスレベルの上で、個人は自分にとって効用最大となる交通機関と経路を選択するという構造をしている。そのためには、交通需要予測モデルとしては、利用者最適に基づいた実際に近い交進行動を表現できるモデルにならざるを得ない。このモデルを用いることにより、て、交通施設投資のあたる後、短期の交通機関分担、配分交通量の予測が可能となる上、システム最適となるような交通施設設計画の策定を行なうことも可能である。

実際にこの問題を解く際には、部分最適化問題の凸性を証明することにより、て必要十分条件になった部分最適化問題のKuhn-Tucker条件を全体最適化問題の制約条件とみなし、ペナルティ関数法を用いて解く方法を示した。さらに、ネットワーク均衡問題の性質を考慮しつつ、ペナルティ関数の最適解を探索するためのアルゴリズムを開発し、モデルネットワークに適用することにより、てモデルとアルゴリズムの有用性を実証した。

しかし、本モデルを実際のバス・自動車混合ネットワークに適用する際には、各モードのリンク走行時間関数や時間評価値の確率密度関数の正確な推定が必要であり、実測や調査により、これらの実態を十分に検討することが重要である。

## 参考文献

- 1) M. Florian (1977). A Traffic Equilibrium Model of Travel by Car and Public Transit Modes, *Transportation Science*, Vol.11, No.2, pp.166-179
- 2) 加藤・岩城 (1979). 交通ネットワークにおける需要均衡問題とその解法, 土木学会論文報告集, 第289号, pp.121-130
- 3) 沢上・佐田 (1981). 分布・分配・選択過程と結合した交通量予測モデル, 土木学会論文報告集, 第306号, pp.45-58
- 4) D.E. Boyce, L.J. LeBlanc, K.S. Chow, Y.T. Lee & K.T. Lin (1981). Combined Models of Location, Destination, Mode and Route Choice: Implementation Issues Related to a Generalized Algorithm, Proc. of the Conference on Structural Economic Analysis and Planning in Time and Space
- 5) 岩城 (1982). 双対交通均衡モデルー交通モード均衡を例へー, 第4回土木計画学会研究発表会講演集, pp.403-412
- 6) 松井・山下 (1978). 多種モード混合の最適ネットワーカーに關する研究, 交通工学, Vol.13, No.7, pp.21-29
- 7) Y. Sheffi and Dargatz (1979). Hypernetworks and Supply-Demand Equilibrium Obtained with Disaggregate Demand Models, *TRR* 673, pp.113-121
- 8) T.A. Ponemochich and D.M. Fadden (1975). Urban Travel Demand-A Behavioral Analysis
- 9) K. Sasaki (1982). Travel Demand and the Evaluation of Transportation System Change; A Reconsideration of the Random Utility Approach, *Environment and Planning A* 14, pp.169-182
- 10) 志水 (1982). 日本的競争の理論, 犬山出版
- 11) 井上 (1982). 道路網における均衡交通量配分の分配解釈法, 土木学会論文報告集, 第313号, pp.125-133

## 6. おわりに

本研究では、バスと自動車という多種のモードが同一リンクを共用する路面交通ネットワークにおいて、交通機関選択過程とネットワーク均衡過程とを結合した交通需要予測手法を開発するのと同時に、両モード利用者の増加便益を最大にするようなバス輸送計画の決定手法について検討を行った。我々は、これらの問題を各モードのネットワーク均衡問題を表現する部分最適化問題を制約条件として、システム全体の総便益の増加量を表わす全体最適化問題を最適化する2レベルStackelberg問題として定式化した。このモデルは、